

### **Литература**

1. Общие вопросы электромагнитной совместимости в кабельных линиях передачи данных / Технологии и средства связи. [М], 2018-2019.  
URL: [http://tsonline.ru/articles2/in-ch-sec/obsch\\_vopr\\_elekro\\_magn\\_sovmest\\_kabeln\\_lin\\_pereda4i\\_dannux](http://tsonline.ru/articles2/in-ch-sec/obsch_vopr_elekro_magn_sovmest_kabeln_lin_pereda4i_dannux) (дата обращения 20.06.2019).
2. Якимов В.Н. Обобщенная математическая модель двухуровневого знакового преобразования // Техника машиностроения, 2000. – № 4. – 72 с.
3. Rin N. Virtual Machines Detection Enhanced, 2013. – Т.55. – С.18 – 21.

УДК 004.056.5(043)

**Information Control Systems and Technologies, pp. 79-82**

**К.ф.-м.н. Журиленко Б.Е., Николаева Н.К.**

### **ВЕРОЯТНОСТЬ ЗАЩИТЫ ИНФОРМАЦИИ В ЗАВИСИМОСТИ ОТ ПРОЕКТИРУЕМОГО НАПРАВЛЕНИЯ ВЗЛОМА**

**Ph.D. Zhurylenko B., Nikolaieva N.**

### **PROBABILITY OF PROTECTION OF INFORMATION DEPENDING ON THE PROJECTED DIRECTION OF THE BREAKING**

Техническая защита информации (ТЗИ) в различных странах осуществляется в соответствие со своими нормативными документами и разрабатываемыми методами защиты. При проектировании ТЗИ параметры взлома закладываются разработчиком и должны соответствовать исходным данным.

В этом случае необходимо знать вероятностную надежность ТЗИ в проектируемом направлении взлома и в направлении реального процесса взлома.

Чтобы построить проектируемую поверхность вероятности для конкретно выбранной попытки и времени взлома, воспользуемся выражением, полученным в [1] через параметры конкретной попытки взлома, например,

$$m = m_c, t = t_c. \tag{1}$$

**Матеріали VIII Міжнародної науково-практичної конференції  
«Інформаційні управляючі системи та технології»  
23 - 25 вересня 2019, Одеса**

---

---

где функцию  $f(m, t)$  в направлении взлома в зависимости от изменения одной из координат можно представить в виде: времени

$$f(t) = \left[ (m_1 - 1) + \frac{m_2 - m_1}{t_2 - t_1} \cdot (t - t_1) \right] \cdot t, \quad (2)$$

и попытки взлома

$$f(m) = \left[ t_1 + \frac{t_2 - t_1}{m_2 - m_1} \cdot (m - m_1) \right] \cdot (m - 1), \quad (3)$$

$\gamma$  - учитывает эффективность защищенности и определяется отношением рисков вложенного финансирования в защиту к полным финансовым потерям без защиты,  $P(X)$  – вероятность ТЗИ от вложенного в ее построение финансирования [2].

Значения выражений, (2) и (3) равны между собой и дают значение максимума вероятности в точке взлома  $f(m, t) = f(t) = f(m)$ .

Чтобы построить распределение вероятности проектируемой поверхности (1) для конкретно выбранной попытки и времени взлома, в выражениях (2) или (3) необходимо выразить степень через параметры конкретной попытки взлома, например,  $m = m_c, t = t_c$ .

На рис.1а представлена поверхность с максимумом вероятности взлома в точке с выбранным направлением взлома по линии 1, например, с максимумом в точке  $m_c = 10, t_c = 5$ . А линия 2 другому реальному направлению взлома, но на поверхности, определяемой направлением взлома по линии 1.

Линия 3 дает направление реального взлома, если злоумышленник изменил реальный процесс нападения. Из рис.1а видно, что при изменении направления взлома (линии 2,3) надежность ТЗИ будет меняться и при ее проектировании необходимо это учитывать.

На поверхности по координатам  $m, t$  видны максимумы значений вероятностей взлома.

Точка пересечения обоих максимумов и направления линии дает точку максимума вероятности взлома в данном направлении.

Такая точка на рис.1а представлена пересечением поверхности с линией 1 проектирования направления процесса взлома с координатами  $m_m = 10, t_m = 5$ , а для линии 2 с  $m_m = 12, t_m = 11$ .

На рис.2б видно, что реальный процесс взлома, соответствующий выражению  $P(m) = 1/m$ , и спроектированной защиты будет проходить с

вероятностью определяемой линией пересечения белой и серой поверхностей.

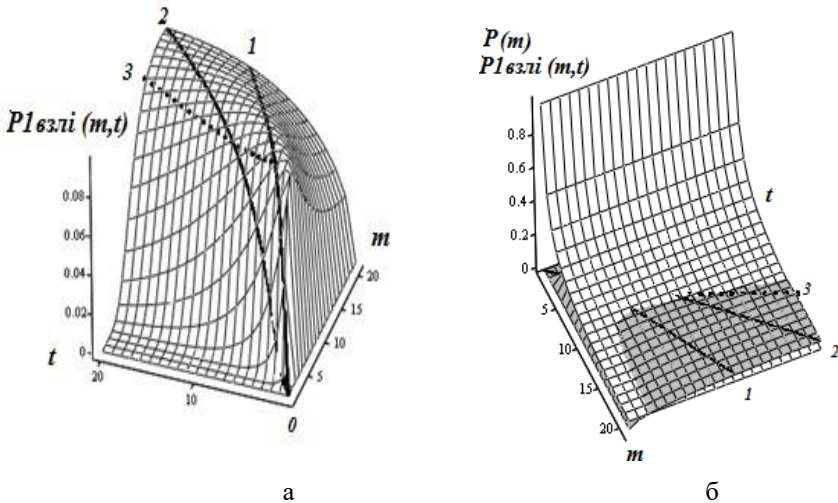


Рис.1. Распределение вероятности взлома: **а** – с проектируемым направлением взлома по линии 1 (серая поверхность); **б** – поверхность рис. **а** и реальная поверхность взлома (белая поверхность), рассчитываемая по формуле  $P(m)=1/m$

В данном случае, согласно рис.2б, процесс взлома с расчетным максимальным значением вероятности будет только для направления проектируемой ТЗИ (линия 1), а для остальных направлений значение вероятности взлома будет меньше (линии 2 и 3).

Если направление реального процесса взлома близко к проектируемому направлению защиты, то взлом ТЗИ может произойти при значениях близких к проектируемой попытке взлома  $t_{vzl}$ , особенно при небольших увеличениях по времени между попытками взлома.

При значительных увеличениях по времени между попытками взлома, взлом ТЗИ возможен не только при большом времени и попытке взлома, но и не произойти совсем.

Аналогичная ситуация, когда взлом не произойдет, возможна, если попытки взлома будут следовать очень часто друг за другом.

**Матеріали VIII Міжнародної науково-практичної конференції  
«Інформаційні управляючі системи та технології»  
23 - 25 вересня 2019, Одеса**

---

---

**Література**

1. Журиленко Б.Е. Вероятностная надежность защиты информации в зависимости от направления взлома/ Журиленко Б.Е., Николаева Н.К.//Захист інформації, 2018. – №3(20). – С. 174 – 179.
2. Журиленко Б.Е. Оценивание финансовых затрат на построение системы защиты информации/ Журиленко Б.Е.//Захист інформації, 2018. – №4(20). – С. 231 – 239.

УДК 519.7

**Information Control Systems and Technologies, pp. 82-84**

**Тарабасва Д.Д, к.ф.-м.н. Шпінарева І.М.,  
ВЕЙВЛЕТ ПЕРЕТВОРЕННЯ ДЛЯ ПРИХОВУВАННЯ  
ІНФОРМАЦІЇ В ВІДЕОФАЙЛАХ**

**Tarabaieva D.D, Ph.D Shpinareva I.M.,  
WAVELET TRANSFORMATIONS FOR HIDING INFORMATION  
IN VIDEO FILES**

Один з напрямів захисту інформації пов'язано із захистом секретних даних від підслуховування неавторизованого користувача. Криптографія і стеганографія—це дві технології, які використовуються для захисту даних. Методи стеганографії мають тенденцію приховувати існування самого повідомлення.

Метою стеганографії є стійкість (до різних методів обробки зображень і стиснення) і ємність прихованих даних. Велика частина стеганографічних алгоритмів орієнтовані на відео.

У зв'язку з властивим структурі відеокадрів надмірності, відеосигнали є досить вразливими до атак, таким як усереднення кадру, підміна кадрів, видалення кадрів і атак, пов'язаним зі статистичним аналізом кадрів.

Всі методи впровадження інформації в відео можуть бути розділені на дві великі групи: просторові і частотні відповідно до галузі застосування [1].

При цьому найбільш часто використовуються наступні перетворення: дискретне косинусне перетворення (ДКП); дискретне перетворення Фур'є (ДФП); дискретне вейвлет-перетворення (ДВП) [2].

ДКП продемонстрував свою перевагу в стисненні радіочастот в широкому діапазоні сигналів, таких як мова, телевізійні сигнали і